Wuxi I-CORE Electronics Co., Ltd.

编号: AiP74AVC8T245-AX-LJ-H002

AiP74AVC8T245 双电源带三态控制的8路总线收发器

产品说明书

说明书发行履历:

版本	发行时间	新制/修订内容
2019-07-A1	2019-07	新制
2023-04-B1	2023-04	更换模板



表 835-11-B4

无锡中微爱芯电子有限公司 Wuxi I-CORE Electronics Co., Ltd.

编号: AiP74AVC8T245-AX-LJ-H002

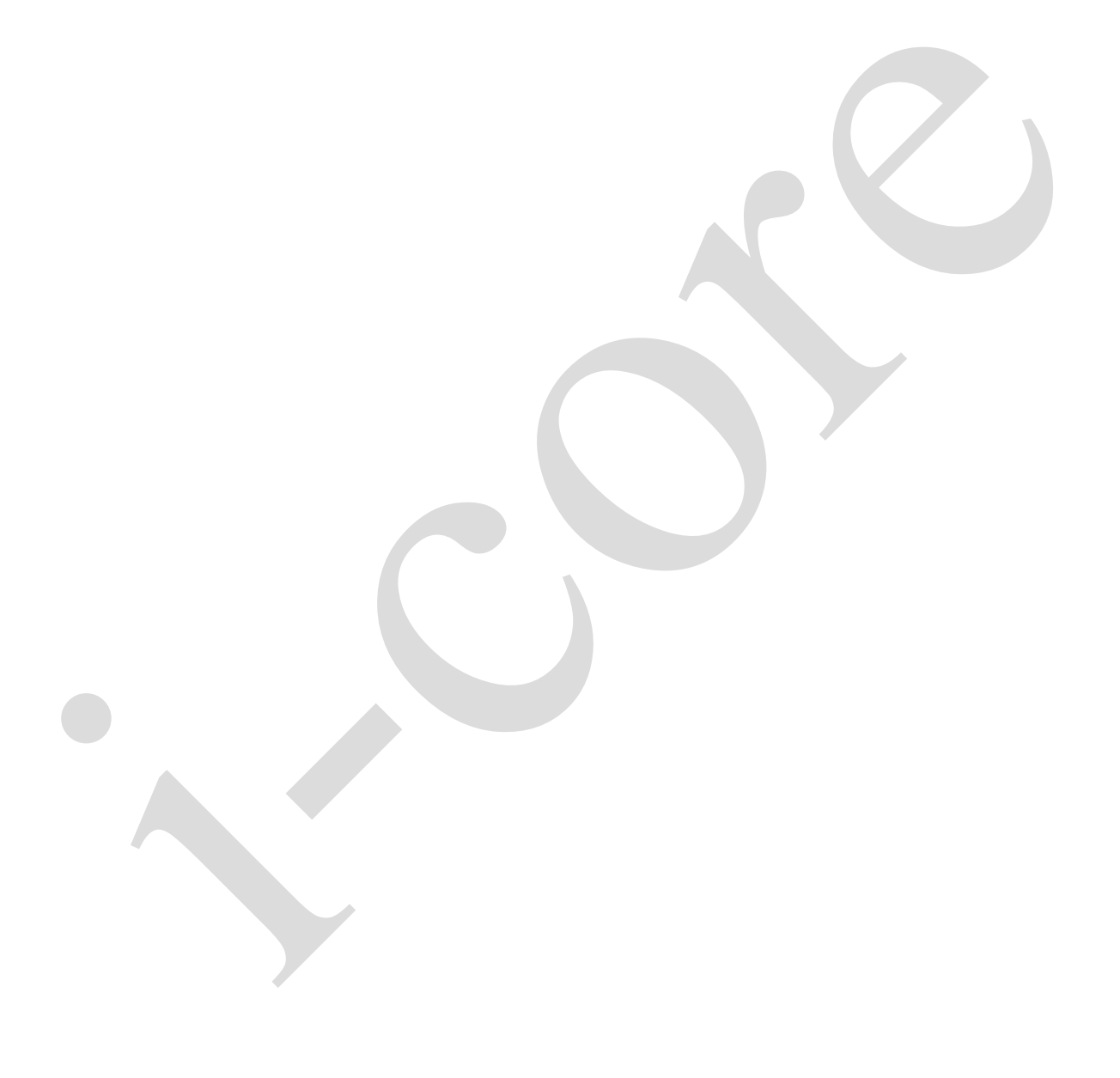
1,	概 述	4
2、	功能框图及引脚说明	(
	2.1、功能框图	(
	2.2、引脚排列图	7
	2.3、引脚说明	7
	2.4、功能表	7
3、	电特性	
	3.1、极限参数	
	3.2、推荐使用条件	
	3.3、电气特性	
	3.3.1、直流参数 1	
	3.3.2、直流参数 2	
	3.3.3、直流参数 3	
	3.3.4、典型总电源电流(I _{CC(A)} +I _{CC(B)})	14
	3.3.5、交流参数 1	
	3.3.6、交流参数 2	14
	3.3.7、交流参数 3	
	3.3.8、交流参数 4	
	3.3.9、交流参数 5	
4、	测试线路	18
	4.1、交流测试波形	18
	4.2、测试点	18
	4.3、交流测试线路	19
	4.4、测试数据	19
5、	特性曲线	20
6,	封装尺寸与外形图	23
	6.1、TSSOP24 外形图与封装尺寸	23
	6.2、DHVQFN24 外形图与封装尺寸	24
7、	声明及注意事项	25
	7.1、产品中有毒有害物质或元素的名称及含量	25



表 835-11-B4

无锡中微爱芯电子有限公司 Wuxi I-CORE Electronics Co., Ltd.

编号: AiP74AVC8T245-AX-LJ-H002



Wuxi I-CORE Electronics Co., Ltd.

编号: AiP74AVC8T245-AX-LJ-H002

1、概 述

AiP74AVC8T245是8位双电源收发器,可实现双向电平转换。它具有两个8位输入输出端口(An和Bn),一个方向控制输入(DIR),一个使能输入(\overline{OE})和双电源引脚($V_{CC(A)}$ 和 $V_{CC(B)}$)。 $V_{CC(A)}$ 和 $V_{CC(B)}$ 均可在0.8V和3.6V之间的任何电压下供电,从而使该器件适合在任何低压节点之间转换(0.8V,1.2V,1.5V,1.8V,2.5V和3.3V)。端口An, \overline{OE} 和DIR由 $V_{CC(A)}$ 供电,端口Bn由 $V_{CC(B)}$ 供电。DIR为高电平时,数据从An到Bn传输。DIR为低电平时,数据从Bn到An传输。输出使能输入(\overline{OE})可用于禁用输出,以便于有效隔离总线。

 I_{OFF} 使得该电路完全适用于具有局部掉电的应用。 I_{OFF} 电路禁止输出,以防止在断电时有害电流回流电路。在挂起模式下,当 $V_{CC(A)}$ 或 $V_{CC(B)}$ 处于 GND 电平时,nAn 端口和 nBn 端口都处于高阻态。其主要特点如下:

• 电源电压范围:

 $V_{CC(A)}$: 0.8V \sim 3.6V $V_{CC(B)}$: 0.8V \sim 3.6V

表 835-11-B4

• 最大数据速率:

380 Mbit/s(≥1.8V 到 3.3V 转换) 260 Mbit/s(≥1.1V 到 3.3V 转换) 260 Mbit/s(≥1.1V 到 2.5V 转换) 210 Mbit/s(≥1.1V 到 1.8V 转换) 150 Mbit/s(≥1.1V 到 1.5V 转换) 100 Mbit/s(≥1.1V 到 1.2V 转换)

- 挂起模式
- 输入端电压可达3.6V
- IoFE电路可兼容局部掉电工作方式
- 工作环境温度范围: -40℃~+125℃
- 封装形式: TSSOP24/DHVQFN24



Wuxi I-CORE Electronics Co., Ltd.

编号: AiP74AVC8T245-AX-LJ-H002

第 5 页 共 25 页

版本: 2023-04-B1

订购信息:

表 835-11-B4

管装:

产品料号	封装形式	打印标识	管装数	盒装管	盒装数	备注说明
AiP74AVC8T245 TA24.TB	TSSOP24	74AVC8T245	62 PCS/管	200 管/盒	12400 PCS/盒	塑封体尺寸: 7.8mm×4.4mm 引脚间距: 0.65mm

编带:

产品料号	封装形式	打印标识	编带盘装数	编带盒装数	备注说明
AiP74AVC8T245 QE24.TR	DHVQFN24	74AVC8T245	3000 PCS/盘	3000 PCS/盒	塑封体尺寸: 5.5mm≤3.5mm 引脚间距: 0.5mm
AiP74AVC8T245 TA24.TR	TSSOP24	74AVC8T245	2500 PCS/盘	5000 PCS/盒	塑封体尺寸: 7.8mm×4.4mm 引脚间距: 0.65mm

注: 如实物与订购信息不一致,请以实物为准。



Wuxi I-CORE Electronics Co., Ltd.

编号: AiP74AVC8T245-AX-LJ-H002

2、功能框图及引脚说明

表 835-11-B4

2.1、功能框图

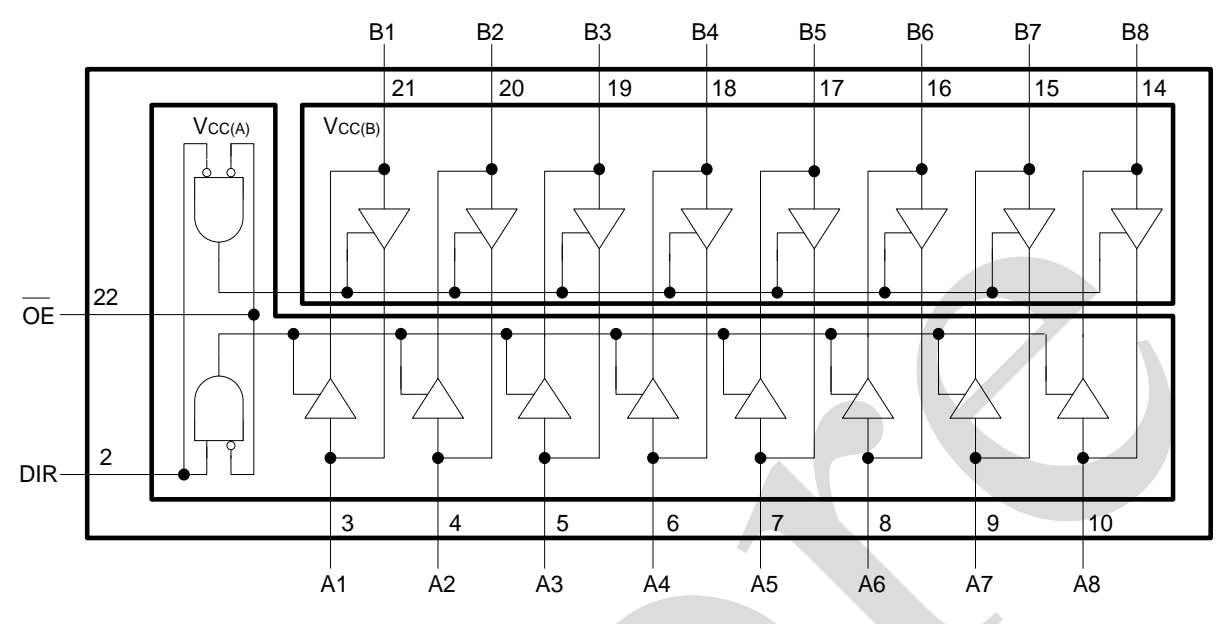


图 1 逻辑符号

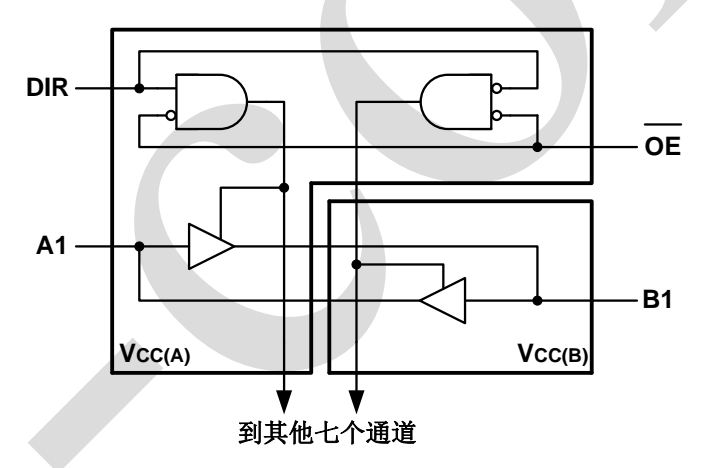


图 2 逻辑框图

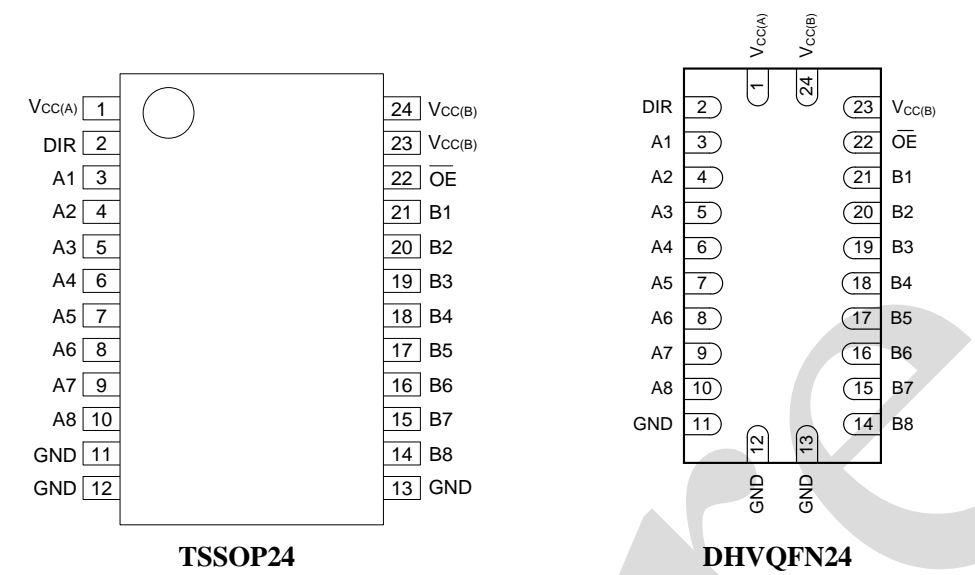


Wuxi I-CORE Electronics Co., Ltd.

编号: AiP74AVC8T245-AX-LJ-H002

2.2、引脚排列图

表 835-11-B4



2.3、引脚说明

引脚	符号	功能
1	$V_{CC(A)}$	电源电压 A(An,OE 和 DIR 输入由 V _{CC(A)} 供电)
2	DIR	方向控制
3, 4, 5, 6, 7, 8, 9, 10	A1~A8	数据输入或输出
11	GND ^[1]	地 (0V)
12	GND ^[1]	地 (0V)
13	GND ^[1]	地 (0V)
21, 20, 19, 18, 17, 16, 15, 14	B1∼B8	数据输入或输出
22	OE	使能输入(低电平有效)
23	$V_{CC(B)}$	电源电压 B(Bn 输入由 V _{CC(B)} 供电)
24	$V_{CC(B)}$	电源电压 B(Bn 输入由 V _{CC(B)} 供电)

注:[1] 所有GND引脚必须接地(0V)。

2.4、功能表

电源电压	输	入	输入/输出		
$V_{CC(A)}$, $V_{CC(B)}$	$\overline{\mathbf{OE}}$	DIR	An	Bn	
0.8V~3.6V	L	L	An=Bn	输入	
0.8V~3.6V	L	Н	输入	Bn=An	
0.8V∼3.6V	Н	X	Z	Z	
GND	X	X	Z	Z	

- [1] H=高电平; L=低电平; X=无关; Z=高阻态。
- [2] An, DIR和 OE 输入电路由V_{CC(A)}供电; Bn输入点路由V_{CC(B)}供电。
- [3] 如果V_{CC(A)}或V_{CC(B)}中至少有一个处于GND电平,则设备进入挂起模式。



Wuxi I-CORE Electronics Co., Ltd.

编号: AiP74AVC8T245-AX-LJ-H002

3、电特性

3.1、极限参数

(除非另有规定,T_{amb}=25℃,GND=0V)

表 835-11-B4

参数名称	符号	条 件	最小	最大	单 位
电源电压 A	$V_{CC(A)}$		-0.5	+4.6	V
电源电压 B	V _{CC(B)}		-0.5	+4.6	V
输入钳位电流	I_{IK}	$V_I < 0V$	-50	_	mA
输入电压	$V_{\rm I}$	_[1]	-0.5	+4.6	V
输出钳位电流	I_{OK}	$V_O < 0V$	-50		mA
输出电压	Vo	工作模式[1][2][3]	-0.5	V _{CCO} +0.5	V
柳山圯丛	v _O	挂起或三态模式[1]	-0.5	+4.6	V
输出电流	I_{O}	$V_{O}=0V\sim V_{CC}$		±50	mA
电源电流	I_{CC}	每个 V _{CC(A)} 或 V _{CC(B)} 引脚		100	mA
地电流	I_{GND}	每个 GND 引脚	-100		mA
贮存温度	T_{stg}		-65	+150	$^{\circ}$
总功耗	P _{tot}			500	mW
焊接温度	$T_{\rm L}$	10秒	260		$^{\circ}$

注:

- [1] 如果遵守输入和输出电流额定值,则可能超过最小输入电压额定值和输出电压额定值。
- [2] Vcco是与输出端口关联的电源电压。
- [3] V_{CCO}+0.5V不应超过4.6V。

3.2、推荐使用条件

参数名称	符号	条件	最小	典型	最大	单 位
电源电压 A	$V_{CC(A)}$		0.8		3.6	V
电源电压 B	$V_{CC(B)}$		0.8		3.6	V
输入电压	$V_{\rm I}$		0	_	3.6	V
输出电压	V	工作模式 ^[1]	0		V_{CCO}	V
柳山电压	$V_{\rm o}$	挂起或三态模式	0		- 3.6 - 3.6 - 3.6	V
工作环境温度	T_{amb}	_	-40		+125	$^{\circ}$
输入上升和下降转换速率	$\Delta t/\Delta V$	$V_{CCI}=0.8V\sim3.6V^{[2]}$	_		5	ns/V

- [1] Vcco是与输出端口关联的电源电压。
- [2] V_{CCI}是与输入端口关联的电源电压。



Wuxi I-CORE Electronics Co., Ltd.

编号: AiP74AVC8T245-AX-LJ-H002

第 9 页 共 25 页

版本: 2023-04-B1

3.3、电气特性

3.3.1、直流参数 1

(除非另有规定, T_{amb}=25℃, GND=0V)

表 835-11-B4

参数名称	符号	测	试 条 件	最小	典型	最大	单 位
高电平输出电 压	V_{OH}	$V_{I}\!\!=\!\!V_{IH}$ 或 V_{IL}	I_{O} =-1.5mA; $V_{CC(A)}$ = $V_{CC(B)}$ =0.8V		0.69		V
低电平输出电 压	V_{OL}	$V_{I} = V_{IH}$ 或 V_{IL}	$I_{O}=1.5\text{mA};$ $V_{CC(A)}=V_{CC(B)}=0.8V$		0.07	_	V
输入漏电流	$I_{\rm I}$				_	±1	uA
				_		±2.5	uA
截止状态输出 电流	I_{OZ}			1		±2.5	uA
				7		±2.5	uA
掉电漏电流	T			7		±1	uA
1年 电视 电视	$ m I_{OFF}$	-	$I_{O}=1.5$ mA; $V_{CC(A)}=V_{CC(B)}=0.8V$ — 0.69 — $I_{O}=1.5$ mA; $V_{CC(A)}=V_{CC(B)}=0.8V$ — 0.07 — $I_{O}=1.5$ mA; $I_{O}=$	±1	uA		
输入电容	C_{I}		•	7	1.5	_	pF
输入/输出电容	$C_{I/O}$				4.3		pF

- [1] Vcco是与输出端口关联的电源电压。
- [2] V_{CCI}是与数据输入端口关联的电源电压。
- [3] 对于I/O端口,参数Ioz包括输入漏电流。



Wuxi I-CORE Electronics Co., Ltd.

编号: AiP74AVC8T245-AX-LJ-H002

3.3.2、直流参数 2

表 835-11-B4

(除非另有规定, T_{amb} =-40 $^{\circ}$ C \sim +85 $^{\circ}$ C,GND=0V)

参数名称	符号	测	试 条 件	最小	典型	最大	单 位
			V _{CCI} =0.8V	0.70V _{CCI}	_	_	V
		数据输入	$V_{CCI}=1.1V\sim1.95V$	$0.65V_{CCI}$	_	_	V
		女人1/台 相 / 八	$V_{\text{CCI}}=2.3V\sim2.7V$	1.6	_	_	V
高电平输入	V_{IH}		$V_{\text{CCI}}=3.0V\sim3.6V$	2		_	V
电压	V IH		$V_{CC(A)}=0.8V$	$0.70V_{CC(A)}$		_	V
			$V_{CC(A)}=1.1V\sim1.95V$	$0.65V_{CC(A)}$	_	_	V
		DIR,OE输入	$V_{CC(A)} = 2.3 V \sim 2.7 V$	1.6		_	V
			$V_{CC(A)} = 3.0 V \sim 3.6 V$	2	<u> </u>		V
			$V_{\text{CCI}}=0.8V$	_			V
		数据输入	$V_{CCI}=1.1V\sim1.95V$			$0.35V_{CCI}$	V
		タ X 3/白 相 / \	$V_{\text{CCI}}=2.3V\sim2.7V$			0.7	V
低电平输入	$ m V_{IL}$		$V_{\text{CCI}}=3.0V\sim3.6V$			0.8	V
电压	▼ IL		$V_{CC(A)}=0.8V$	_		$0.30V_{CC(A)}$	V
			$V_{CC(A)}=1.1V\sim1.95V$		_	$0.35V_{CC(A)}$	V
		DIR, OE输入	$V_{CC(A)} = 2.3 V \sim 2.7 V$			0.7	V
		$\begin{array}{c ccccccccccccccccccccccccccccccccccc$	0.8	V			
			I _O =-100uA;				
	$ m V_{OH}$	$V_{I} = V_{IH}$ 或 V_{IL}		V_{CCO} -0.1	_	_	V
			$I_O=-3mA;$	0.85	_	_	V
高电平输出			I_{O} =-6mA; $V_{CC(A)}$ = $V_{CC(B)}$ =1.4V	1.05	_		V
电压			$I_{O} = -8mA;$ $V_{CC(A)} = V_{CC(B)} = 1.65V$	1.2	_		V
			$I_0 = -9 \text{ mA};$ $V_{\text{CC(A)}} = V_{\text{CC(B)}} = 2.3 \text{ V}$	1.75	_	_	V
			$I_{O}=-12mA;$ $V_{CC(A)}=V_{CC(B)}=3.0V$	2.3	_	_	V
			$\begin{array}{c} I_{O}\!\!=\!\!100uA; \\ V_{CC(A)}\!\!=\!\!V_{CC(B)}\!\!=\!\!0.8V\!\!\sim \\ 3.6V \end{array}$	_	_	0.1	V
			$I_O=3mA;$ $V_{CC(A)}=V_{CC(B)}=1.1V$	_	_	0.25	V
低电平输出	$V_{ m OL}$	V _{I=} V _{IH} 或V _{IL}	$I_{O}=6mA; \\ V_{CC(A)}=V_{CC(B)}=1.4V$	_		0.35	V
电压	02		$I_O=8mA;$ $V_{CC(A)}=V_{CC(B)}=1.65V$	_	_	0.45	V
			$I_{O}=9mA;$ $V_{CC(A)}=V_{CC(B)}=2.3V$	_	_	0.55	V
			$I_{O}=12mA;$ $V_{CC(A)}=V_{CC(B)}=3.0V$	_		0.7	V



表 835-11-B4

无锡中微爱芯电子有限公司

Wuxi I-CORE Electronics Co., Ltd.

编号: AiP74AVC8T245-AX-LJ-H002

输入漏电流	I_{I}		•	_	_	±1	uA
				_		±5	uA
截止状态输 出电流	I_{OZ}	V _{CC(A)} =V _{CC(B)} =0.8V to 3.6V	uA				
		V _O =0V或	$\dot{c}V_{\rm CCO}; V_{\rm CC(A)}=0V;$	_	_	±5	uA
掉电漏电流	ī		• • • •	_	_	±5	uA
1年 电视 电视	$ m I_{OFF}$					±5	uA
		у УШ —	()			10	uA
		V _I =0V或	* /	-	_	8	uA
		V _{CCI} ; I _O =UA	$V_{CC(A)}=3.6V; V_{CC(B)}=0V$	_		±5 ±5 ±5 ±5 10 8 8 10 8 8	uA
			$V_{CC(A)}=0V; V_{CC(B)}=3.6V$	-2	_		uA
		$egin{array}{cccc} V_{I}\!=\!0V \ V_{CCI}; & I_{O}\!=\!0A \ \hline V_{CCG} \ V_{CCG} \ \hline V_{CCG} \ V_{CCG} \ V_{CCG} \ \hline \end{array}$	$V_{CC(A)} = 0.8V \sim 3.6V;$	7- 1	_	10	uA
静态电流	I_{CC}	V _I =0V或		_	_	±5 ±5 10 8 8 10 8 8 20	uA
111 70, 0.010	-cc	V _{CCI} ; I _O –UA	$V_{CC(A)}=3.6V; V_{CC(B)}=0V$	-2	_	_	uA
				_		±5 ±5 ±5 ±5 10 8 8 10 8 8	uA
		I _O =0A V _{CC(A}	; V _I =0V或V _{CCI} ; _{A)} =0.8V~3.6V;	_	_	20	uA
		A加B端 I _O =0A V _{CC(}	$\exists (I_{CC(A)} + I_{CC(B)});$	_	_	16	uA

- [1] Vcco是与输出端口关联的电源电压。
- [2] V_{CCI}是与数据输入端口关联的电源电压。
- [3] 对于I/O端口,参数Ioz包括输入漏电流。



Wuxi I-CORE Electronics Co., Ltd.

编号: AiP74AVC8T245-AX-LJ-H002

3.3.3、直流参数 3

表 835-11-B4

(除非另有规定, T_{amb} =-40℃ \sim +125 $^{\circ}$ C,GND=0V)

参数名称	符号	测	试 条 件	最小	典型	最大	单 位
			V _{CCI} =0.8V	0.70V _{CCI}	_	_	V
		数据输入	$V_{CCI}=1.1V\sim1.95V$	$0.65V_{CCI}$	_	_	V
		女人1/台 相 / 八	$V_{\text{CCI}}=2.3V\sim2.7V$	1.6	_	_	V
高电平输入	V_{IH}		$V_{\text{CCI}}=3.0V\sim3.6V$	2		_	V
电压	V IH		$V_{CC(A)}=0.8V$	$0.70V_{CC(A)}$		_	V
			$V_{CC(A)}=1.1V\sim1.95V$	$0.65V_{CC(A)}$	_	_	V
		DIR,OE输入	$V_{CC(A)} = 2.3 V \sim 2.7 V$	1.6		_	V
			$V_{CC(A)} = 3.0 V \sim 3.6 V$	2	<u> </u>		V
			$V_{\text{CCI}}=0.8V$	_			V
		数据输入	$V_{CCI}=1.1V\sim1.95V$			$0.35V_{CCI}$	V
		タ X 3/白 相 / \	$V_{\text{CCI}}=2.3V\sim2.7V$			0.7	V
低电平输入	$ m V_{IL}$		$V_{\text{CCI}}=3.0V\sim3.6V$			0.8	V
电压	▼ IL		$V_{CC(A)}=0.8V$	_		$0.30V_{CC(A)}$	V
			$V_{CC(A)}=1.1V\sim1.95V$		_	$0.35V_{CC(A)}$	V
		DIR,OE输入	$V_{CC(A)}=2.3V\sim2.7V$			0.7	V
		$\begin{array}{c ccccccccccccccccccccccccccccccccccc$	_	0.8	V		
			I _O =-100uA;				
	$ m V_{OH}$	$V_{ m I}\!\!=\!\!V_{ m IH}$ 或 $V_{ m IL}$		V_{CCO} -0.1	_		V
			9	0.85	_	_	V
高电平输出 电压			I_{O} =-6mA; $V_{CC(A)}$ = $V_{CC(B)}$ =1.4V	1.05		—	V
电压			$I_{O} = -8mA;$ $V_{CC(A)} = V_{CC(B)} = 1.65V$	1.2		_	V
			$I_0 = -9 \text{ mA};$ $V_{\text{CC(A)}} = V_{\text{CC(B)}} = 2.3 \text{ V}$	1.75	_	_	V
			$I_{O}=-12mA;$ $V_{CC(A)}=V_{CC(B)}=3.0V$	2.3	_	_	V
			$\begin{array}{c} I_{O}\!\!=\!\!100uA; \\ V_{CC(A)}\!\!=\!\!V_{CC(B)}\!\!=\!\!0.8V\!\!\sim \\ 3.6V \end{array}$	_	_	0.1	V
			$I_O=3mA;$ $V_{CC(A)}=V_{CC(B)}=1.1V$	_	_	0.25	V
低电平输出	$ m V_{OL}$	V _{I=} V _{IH} 或V _{IL}	$I_{O}=6mA;$ $V_{CC(A)}=V_{CC(B)}=1.4V$	_	_	0.35	V
电压	02		$I_O=8mA;$ $V_{CC(A)}=V_{CC(B)}=1.65V$	_	_	0.45	V
			$I_{O}=9mA;$ $V_{CC(A)}=V_{CC(B)}=2.3V$	_	_	0.55	V
			I _O =12mA; V _{CC(A)} =V _{CC(B)} =3.0V	_	_	0.7	V



表 835-11-B4

无锡中微爱芯电子有限公司

Wuxi I-CORE Electronics Co., Ltd.

编号: AiP74AVC8T245-AX-LJ-H002

				1		1	
输入漏电流	$I_{\rm I}$		输入; V _I =0V或3.6V; V _{CC(B)} =0.8V to 3.6V	_	_	±5	uA
			コ; V _O =0V或V _{CCO} ; _{A)} =V _{CC(B)} =3.6V ^[3]	_	_	±30	uA
截止状态输 出电流	I_{OZ}	V _O =0V或	记模式A端口; V _{CCO} ; V _{CC(A)} =3.6V; V _{CC(B)} =0V ^[3]	_		±30	uA
		V _O =0V或	已模式B端口; (V _{CCO} ; V _{CC(A)} =0V; √ _{CC(B)} =3.6V ^[3]	_		±30	uA
掉电漏电流	ī		$V_{\rm I}$ 或 $V_{\rm O}$ =0 V \sim 3.6 V ; ; $V_{\rm CC(B)}$ =0.8 V \sim 3.6 V	_	_	±30	uA
7平电侧电机	$ m I_{OFF}$		$V_{\rm I}$ 或 $V_{\rm O}$ =0 V \sim 3.6 V ; ; $V_{\rm CC(A)}$ =0.8 V \sim 3.6 V			±30	uA
		, 24h m	$V_{CC(A)}=0.8V\sim3.6V; \ V_{CC(B)}=0.8V\sim3.6V$		_	55	uA
		A端口; V _I =0V或	$V_{CC(A)}=1.1V\sim3.6V;$ $V_{CC(B)}=1.1V\sim3.6V$	-	_	50	uA
		V_{CCI} ; $I_O=0A$	$V_{CC(A)}=3.6V; V_{CC(B)}=0V$	_		50	uA
			$V_{CC(A)}=0V; V_{CC(B)}=3.6V$	-12	_	_	uA
		B端口;	$V_{CC(A)} = 0.8V \sim 3.6V;$ $V_{CC(B)} = 0.8V \sim 3.6V$			55	uA
静态电流	I_{CC}	B编口; V _I =0V或 V _{CCI} ; I _O =0A	$V_{CC(A)}=1.1V\sim3.6V;$ $V_{CC(B)}=1.1V\sim3.6V$	/-	_	50	uA
144 500 - 01010	-((v _{CCI} ; I _O =UA	$V_{CC(A)}=3.6V; V_{CC(B)}=0V$	-12			uA
			$V_{CC(A)}=0V; V_{CC(B)}=3.6V$	_		50	uA
		I_{O} =0A $V_{CC(A)}$	に $(I_{CC(A)}+I_{CC(B)})$; ; $V_I=0V$ 或 V_{CCI} ; $V_I=0.8V\sim3.6V$; $V_{(B)}=0.8V\sim3.6V$	_	_	70	uA
		A加B端 I _O =0A V _{CC(A}	口 $(I_{CC(A)}+I_{CC(B)})$; ; $V_{I}=0V$ 或 V_{CCI} ; $I_{X}=1.1V\sim3.6V$; $I_{B}=1.1V\sim3.6V$	_		65	uA

- [1] Vcco是与输出端口关联的电源电压。
- [2] V_{CCI}是与数据输入端口关联的电源电压。
- [3] 对于I/O端口,参数Ioz包括输入漏电流。



Wuxi I-CORE Electronics Co., Ltd.

编号: AiP74AVC8T245-AX-LJ-H002

3.3.4、典型总电源电流 (I_{CC(A)}+I_{CC(B)})

表 835-11-B4

V				V _{CC(B)}				单 位
$V_{CC(A)}$	0V	0.8V	1.2V	1.5V	1.8V	2.5V	3.3V	上 位
0V	0	0.1	0.1	0.1	0.1	0.1	0.1	uA
0.8V	0.1	0.1	0.1	0.1	0.1	0.3	1.6	uA
1.2V	0.1	0.1	0.1	0.1	0.1	0.1	0.8	uA
1.5V	0.1	0.1	0.1	0.1	0.1	0.1	0.4	uA
1.8V	0.1	0.1	0.1	0.1	0.1	0.1	0.2	uA
2.5V	0.1	0.3	0.1	0.1	0.1	0.1	0.1	uA
3.3V	0.1	1.6	0.8	0.4	0.2	0.1	0.1	uA

3.3.5、交流参数1

(除非另有规定, T_{amb}=25℃, GND=0V)

参数名称	符号	测试条件			$\mathbf{V_{C}}$	C(B)			单位
多数石物	17) 7	多叉形件	0.8V	1.2V	1.5V	1.8V	2.5V	3.3V	平位
传输延时	+	An到Bn	14.4	7.0	6.2	6.0	5.9	6.0	ns
1年制 延刊	t_{pd}	Bn到An	14.4	12.4	12.1	11.9	11.8	11.8	ns
失能时间	+	 OE 到An	16.2	16.2	16.2	16.2	16.2	16.2	ns
大肥明问	$t_{ m dis}$	 OE 到Bn	17.6	10.0	9.0	9.1	8.7	9.3	ns
使能时间	4	 OE 到An	21.9	21.9	21.9	21.9	21.9	21.9	ns
区形时间	$t_{\rm en}$	 OE 到Bn	22.2	11.1	9.8	9.4	9.4	9.6	ns

注: tpd与tPLH和tPHL相同; tdis与tPLZ和tPHZ相同; ten与tPZL和tPZH相同。

3.3.6、交流参数 2

(除非另有规定, T_{amb}=25℃, V_{CC(B)}=0.8V, GND=0V)

参数名称	符号	测试条件			V _C	C(A)			单 位
多数石物	11) 5	侧风乐什	0.8V	1.2V	1.5V	1.8V	2.5V	3.3V	平 仏
传输延时	+	An到Bn	14.4	12.4	12.1	11.9	11.8	11.8	ns
14411年11	$t_{ m pd}$	Bn到An	14.4	7.0	6.2	6.0	5.9	6.0	ns
失能时间		OE 到An	16.2	5.9	4.4	4.2	3.1	3.5	ns
大肥时间	t _{dis}	OE 到Bn	17.6	14.2	13.7	13.6	13.3	13.1	ns
使能时间		 OE 到An	21.9	6.4	4.4	3.5	2.6	2.3	ns
文化的问	t _{en}	OE 到Bn	22.2	17.7	17.2	17.0	16.8	16.7	ns

注: tpd与tPLH和tPHL相同; tdis与tPLZ和tPHZ相同; ten与tPZL和tPZH相同。



Wuxi I-CORE Electronics Co., Ltd.

编号: AiP74AVC8T245-AX-LJ-H002

3.3.7、交流参数 3

表 835-11-B4

(除非另有规定,T_{amb}=25℃,V_{CC(A)}=V_{CC(B)},GND=0V)

参数名称	符号	测试条件			V _{CC(A)} =	=V _{CC(B)}			单 位
多数石协	11) 5	例 以 宋 什	0.8V	1.2V	1.5V	1.8V	2.5V	3.3V	平位
		A端口:(方向An到Bn); 输出使能	0.2	0.2	0.2	0.3	0.4	0.5	pF
		A端口:(方向An到Bn); 输出失能	0.2	0.2	0.2	0.3	0.4	0.5	pF
		A端口: (方向Bn到An); 输出使能	9	9	10	10	11	13	pF
功耗电容	C	A端口: (方向Bn到An); 输出失能	0.6	0.6	0.6	0.7	0.7	0.8	pF
少 杜电 台	C_{PD}	B端口:(方向An到Bn); 输出使能	9	9	10	10	11	13	pF
		B端口:(方向An到Bn); 输出失能	0.6	0.6	0.6	0.7	0.7	0.8	pF
		B端口: (方向Bn到An); 输出使能	0.2	0.2	0.2	0.3	0.4	0.5	pF
		B端口: (方向Bn到An); 输出失能	0.2	0.2	0.2	0.3	0.4	0.5	pF

注: C_{PD}用于确定动态功耗(P_D单位为uW)。

 $P_D = C_{PD} \times V_{CC}^2 \times f_i \times N + \Sigma (C_L \times V_{CC}^2 \times f_o)$, 其中:

f_i=输入频率,单位为 MHz;

f_o=输出频率,单位为 MHz;

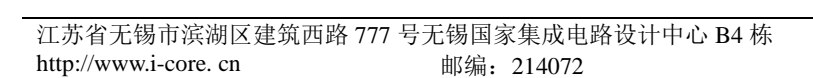
C_L=负载电容,单位为 pF;

 V_{CC} =电源电压,单位为 V;

N=输入开关数;

 $\Sigma(C_L \times V_{CC}^2 \times f_o)$ =输出总和。

 $f_{i}\!\!=\!\!10 MHz; \;\; V_{I}\!\!=\!\!GND^{\sim}V_{CC}; \;\; t_{i}\!\!=\!\!t_{f}\!\!=\!\!1ns; \;\; C_{L}\!\!=\!\!0pF; \;\; R_{L}\!\!=\!\!\infty\Omega_{\circ}$





Wuxi I-CORE Electronics Co., Ltd.

编号: AiP74AVC8T245-AX-LJ-H002

3.3.8、交流参数 4

表 835-11-B4

(除非另有规定,T_{amb}=-40℃~+85℃,GND=0V)

							V	CC(B)					
参数名称	符号	测试条件	1.2V	±0.1V	1.5V	±0.1V	1.8V±	0.15V	2.5V	±0.2V	3.3V=	±0.3V	单 位
			最小	最大	最小	最大	最小	最大	最小	最大	最小	最大	
				Vo	_{C(A)} =1.1	V~1.3	V	_		_	_		
传输延时	t _{pd}	An到Bn	0.5	9.0	0.5	6.7	0.5	5.8	0.5	4.9	0.5	4.8	ns
14400年1	фа	Bn到An	0.5	9.0	0.5	8.5	0.5	8.3	0.5	8.0	0.5	7.8	ns
失能时间	f	OE 到An	0.5	11.8	0.5	11.8	0.5	11.8	0.5	11.8	0.5	11.8	ns
人的时间	t _{dis}	OE 到Bn	0.5	12.3	0.5	9.5	0.5	9.4	0.5	8.0	0.5	8.9	ns
法约时间	_	OE 到An	1.1	14.4	1.1	14.4	1.1	14.4	1.1	14.4	1.1	14.4	ns
使能时间	t _{en}	OE 到Bn	1.1	14.2	1.1	10.4	1.1	9.0	1.0	7.7	1.0	7.3	ns
				Vc	C(A)=1.4	V~1.6	V						
传输延时	+	An到Bn	0.5	8.5	0.5	5.6	0.5	4.7	0.5	4.4	0.5	4.1	ns
14制延的	t_{pd}	Bn到An	0.5	6.7	0.5	5.6	0.5	5.3	0.5	5.2	0.5	5.0	ns
失能时间		OE 到An	0.5	8.6	0.5	8.6	0.5	8.6	0.5	8.6	0.5	8.6	ns
大化时间	t _{dis}	OE 到Bn	0.5	11.2	0.5	8.4	0.5	7.6	0.5	7.2	0.5	7.8	ns
	,	OE 到An	1.1	8.7	1.1	8.7	1.1	8.7	1.1	8.7	1.1	8.7	ns
使能时间	t _{en}	OE 到Bn	1.1	12.8	1.1	8.1	1.1	7.1	1.0	5.6	1.0	5.2	ns
	I	·		V _{CC}	(A)=1.65	V~1.9	5V					I.	
<i>1+ t</i> △7111+	_	An到Bn	0.5	8.3	0.5	5.3	0.5	4.5	0.5	3.8	0.5	3.5	ns
传输延时	t_{pd}	Bn到An	0.5	5.8	0.5	4.7	0.5	4.5	0.5	4.3	0.5	4.1	ns
开约时	_	OE 到An	0.5	7.1	0.5	7.1	0.5	7.1	0.5	7.1	0.5	7.1	ns
失能时间	t _{dis}	OE 到Bn	0.5	10.9	0.5	7.8	0.5	6.9	0.5	6.0	0.5	5.8	ns
₩ Ak + L 2→		OE 到An	1.0	6.8	1.0	6.8	1.0	6.8	1.0	6.8	1.0	6.8	ns
使能时间	t _{en}	OE 到Bn	1.1	12.4	1.1	8.2	1.0	6.7	0.5	5.1	0.5	4.5	ns
				V _C	$_{\rm C(A)} = 2.3$	V~2.7	V	l			l		
1+ + 4-7-7 m-1		An到Bn	0.5	8.0	0.5	5.2	0.5	4.3	0.5	3.3	0.5	2.9	ns
传输延时	t _{pd}	Bn到An	0.5	4.9	0.5	4.4	0.5	3.8	0.5	3.3	0.5	3.1	ns
		OE 到An	0.5	5.1	0.5	5.1	0.5	5.1	0.5	5.1	0.5	5.1	ns
失能时间	t _{dis}	OE 到Bn	0.5	10.4	0.5	7.1	0.5	6.3	0.5	5.1	0.5	5.2	ns
/ I. / I I > -		OE 到An	0.5	4.8	0.5	4.8	0.5	4.8	0.5	4.8	0.5	4.8	ns
使能时间	t _{en}	OE 到Bn	1.1	11.9	1.1	7.9	0.5	6.4	0.5	4.6	0.5	4.0	ns
	l	3 - 2 - 3 - 2		$\mathbf{V}_{\mathbf{C}}$	$_{C(A)}=3.0$	V to 3.6	V					I	
l+ +人 フイ n l.		An到Bn	0.5	7.8	0.5	5.0	0.5	4.1	0.5	3.1	0.5	2.7	ns
传输延时	t_{pd}	Bn到An	0.5	4.8	0.5	4.1	0.5	3.5	0.5	2.9	0.5	2.7	ns
# AP n.L.)	,	OE 到An	0.5	4.9	0.5	4.9	0.5	4.9	0.5	4.9	0.5	4.9	ns
失能时间	t _{dis}	OE 到Bn	0.5	10.1	0.5	6.9	0.5	6.0	0.5	4.8	0.5	5.0	ns
		OE 到An	0.5	4.0	0.5	4.0	0.5	4.0	0.5	4.0	0.5	4.0	ns
使能时间	t _{en}	OE 到Bn	1.1	11.7	1.1	7.8	0.5	6.2	0.5	4.5	0.5	3.9	ns
沙 : -	<u> </u> +	DE 到DII 和 t 相同 t	I.1 = t		相同。		₹П +	相同	0.5		0.0	2.7	110

注: tpd与tPLH和tPHL相同; tdis与tPLZ和tPHZ相同; ten与tPZL和tPZH相同。



Wuxi I-CORE Electronics Co., Ltd.

编号: AiP74AVC8T245-AX-LJ-H002

3.3.9、交流参数 5

表 835-11-B4

(除非另有规定,T_{amb}=-40℃~+125℃,GND=0V)

							\mathbf{V}_{0}	CC(B)					
参数名称	符号	测试条件	1.2V=	±0.1V	1.5V	±0.1V	1.8V±	0.15V	2.5V	±0.2V	3.3V=	±0.3V	单位
			最小	最大	最小	最大	最小	最大	最小	最大	最小	最大	
				$\mathbf{V}_{\mathbf{C}}$	_{C(A)} =1.1	V~1.3	V			_	_		
传输延时	t _{pd}	An到Bn	0.5	9.9	0.5	7.4	0.5	6.4	0.5	5.4	0.5	5.3	ns
14 相及明	фа	Bn到An	0.5	9.9	0.5	9.4	0.5	9.2	0.5	8.8	0.5	8.6	ns
失能时间	t _{dis}	OE 到An	0.5	13.0	0.5	13.0	0.5	13.0	0.5	13.0	0.5	13.0	ns
)/100H11H1	dis	OE 到Bn	0.5	13.6	0.5	10.5	0.5	10.4	0.5	8.8	0.5	9.8	ns
使能时间	4	OE 到An	1.1	15.9	1.1	15.9	1.1	15.9	1.1	15.9	1.1	15.9	ns
(実形的19)	t _{en}	OE 到Bn	1.1	15.7	1.1	11.5	1.1	9.9	1.0	8.5	1.0	8.1	ns
		•		V _C	C(A)=1.4	V~1.6	V						
传输延时	t .	An到Bn	0.5	9.4	0.5	6.2	0.5	5.2	0.5	4.9	0.5	4.6	ns
1女棚延时	t _{pd}	Bn到An	0.5	7.4	0.5	6.2	0.5	5.9	0.5	5.8	0.5	5.5	ns
失能时间	t	OE 到An	0.5	9.5	0.5	9.5	0.5	9.5	0.5	9.5	0.5	9.5	ns
人的时间	t _{dis}	OE 到Bn	0.5	12.4	0.5	9.3	0.5	8.4	0.5	8.0	0.5	8.6	ns
体化时间	_	 OE 到An	1.1	9.6	1.1	9.6	1.1	9.6	1.1	9.6	1.1	9.6	ns
使能时间	t _{en}	OE 到Bn	1.1	14.1	1.1	9.0	1.1	7.9	1.0	6.2	1.0	5.8	ns
				$\mathbf{V}_{\mathbf{CC}}$	(A)=1.65	V~1.9	5V		-	l	l		
传输延时	t .	An到Bn	0.5	9.2	0.5	5.9	0.5	5.0	0.5	4.2	0.5	3.9	ns
1女棚延时	t_{pd}	Bn到An	0.5	6.4	0.5	5.2	0.5	5.0	0.5	4.8	0.5	4.6	ns
失能时间	f	OE 到An	0.5	7.9	0.5	7.9	0.5	7.9	0.5	7.9	0.5	7.9	ns
八批町町	t _{dis}	OE 到Bn	0.5	12.0	0.5	8.6	0.5	7.6	0.5	6.6	0.5	6.4	ns
体化时间	4	OE 到An	1.0	7.5	1.0	7.5	1.0	7.5	1.0	7.5	1.0	7.5	ns
使能时间	t _{en}	OE 到Bn	1.1	13.7	1.1	9.1	1.0	7.4	0.5	5.7	0.5	5.0	ns
				V _C	C(A) = 2.3	V~2.7	V	•	•	•	•	•	
传输延时	t .	An到Bn	0.5	8.8	0.5	5.8	0.5	4.8	0.5	3.7	0.5	3.2	ns
1女棚延时	t _{pd}	Bn到An	0.5	5.4	0.5	4.9	0.5	4.2	0.5	3.7	0.5	3.5	ns
失能时间	1	OE 到An	0.5	5.7	0.5	5.7	0.5	5.7	0.5	5.7	0.5	5.7	ns
八批明刊	t _{dis}	OE 到Bn	0.5	11.5	0.5	7.9	0.5	7.0	0.5	5.7	0.5	5.8	ns
估处时间		OE 到An	0.5	5.3	0.5	5.3	0.5	5.3	0.5	5.3	0.5	5.3	ns
使能时间	t _{en}	OE 到Bn	1.1	13.1	1.1	8.7	0.5	7.1	0.5	5.1	0.5	4.4	ns
	•			V _C	C(A)=3.0	V to 3.6	V	•		•	•	•	
传输延时	t .	An到Bn	0.5	8.6	0.5	5.5	0.5	4.6	0.5	3.5	0.5	3.0	ns
14411年11	t _{pd}	Bn到An	0.5	5.3	0.5	4.6	0.5	3.9	0.5	3.2	0.5	3.0	ns
失能时间	t	OE 到An	0.5	5.4	0.5	5.4	0.5	5.4	0.5	5.4	0.5	5.4	ns
八配門門	t _{dis}	OE 到Bn	0.5	11.2	0.5	7.6	0.5	6.6	0.5	5.3	0.5	5.5	ns
体化中心	4	OE 到An	0.5	4.4	0.5	4.4	0.5	4.4	0.5	4.4	0.5	4.4	ns
使能时间	t _{en}	OE 到Bn	1.1	12.9	1.1	8.6	0.5	6.9	0.5	5.0	0.5	4.3	ns

注: tpd与tPLH和tPHL相同; tdis与tPLZ和tPHZ相同; ten与tPZL和tPZH相同。



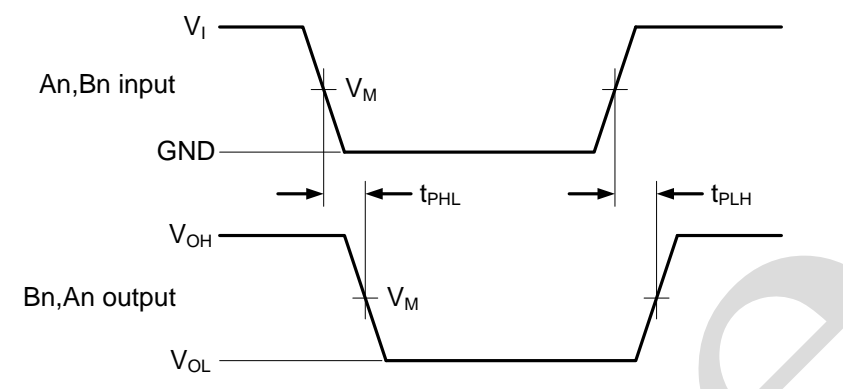
Wuxi I-CORE Electronics Co., Ltd.

编号: AiP74AVC8T245-AX-LJ-H002

4、测试线路

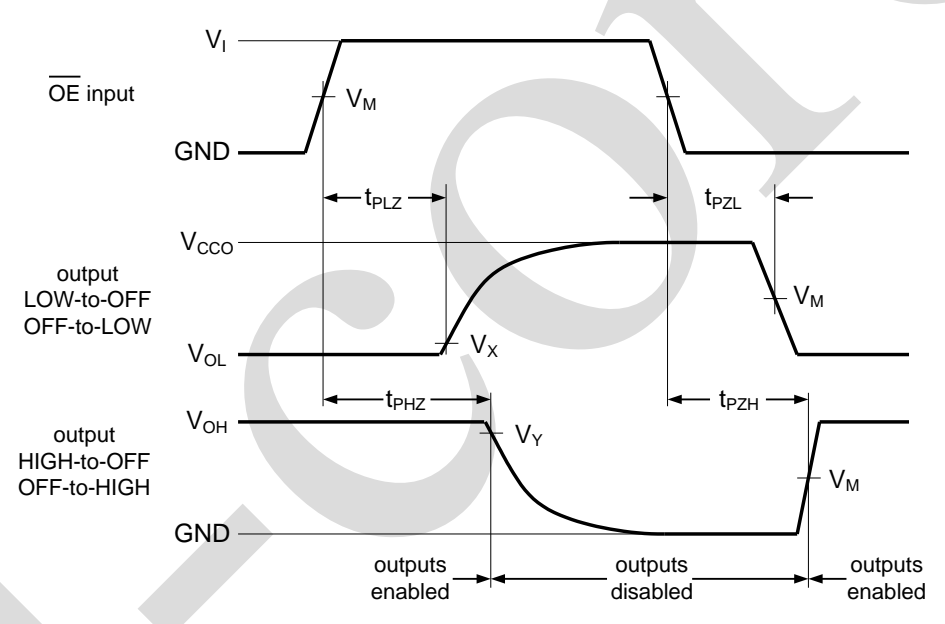
4.1、交流测试波形

表 835-11-B4



Vol 和 VoH 是带负载时的输出电平电压。

图3 数据输入(An, Bn)到输出(Bn, An)传输延迟及输出转换时间



 V_{OL} 和 V_{OH} 是带负载时的输出电平电压。

图 4 使能和失能时间

4.2、测试点

电源电压	输入 ^[1]		输出 ^[2]	
$\mathbf{V}_{\mathrm{CC}(\mathbf{A})}$, $\mathbf{V}_{\mathrm{CC}(\mathbf{B})}$	$\mathbf{V}_{\mathbf{M}}$	$\mathbf{V}_{\mathbf{M}}$	$\mathbf{V}_{\mathbf{X}}$	$\mathbf{V}_{\mathbf{Y}}$
0.8V~1.6V	$0.5V_{\rm CCI}$	$0.5V_{CCO}$	$V_{OL}+0.1V$	V_{OH} -0.1 V
1.65V~2.7V	$0.5V_{\rm CCI}$	$0.5V_{CCO}$	$V_{OL} + 0.15V$	V_{OH} -0.15 V
3.0V∼3.6V	$0.5V_{CCI}$	$0.5V_{CCO}$	$V_{OL}+0.3V$	V _{OH} -0.3V

注:

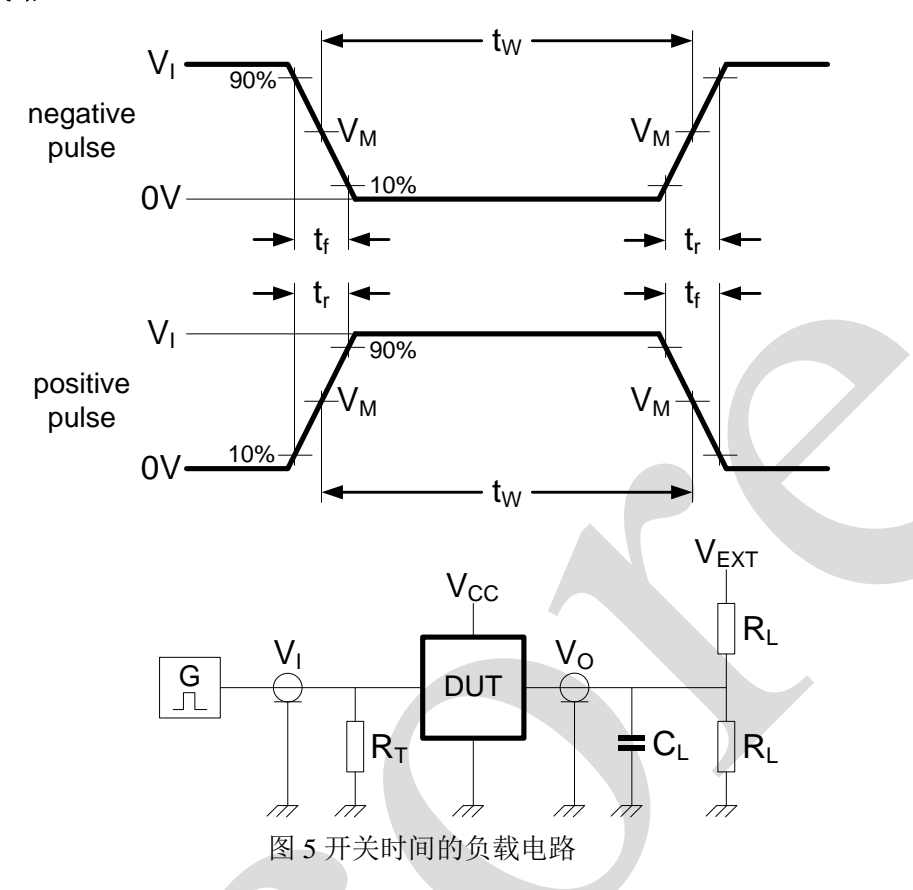
[1] Vcci 是与数据输入端口关联的电源电压。

[2] V_{CCO}是与输出端口关联的电源电压。

Wuxi I-CORE Electronics Co., Ltd.

编号: AiP74AVC8T245-AX-LJ-H002

4.3、交流测试线路



测试电路的定义:

R_L=负载电阻

C_L=负载电容,包括探针、夹子上的电容

R_T=终端电阻

V_{EXT}=外部电压,用于测量开关时间

4.4、测试数据

电源电压	输	入	负	载	$ m V_{EXT}$				
$V_{CC(A)}$, $V_{CC(B)}$	$V_I^{[1]}$ $\Delta t/\Delta V^{[2]}$		$\mathbf{C}_{\mathbf{L}}$	\mathbf{R}_{L}	t_{PLH} , t_{PHL}	t_{PZH} , t_{PHZ}	$t_{PZL}, t_{PLZ}^{[3]}$		
0.8V~1.6V	V _{CCI}	≤1.0ns/V	15pF	2kΩ	open	GND	$2V_{CCO}$		
1.65V~2.7V	V_{CCI}	≤1.0ns/V	15pF	2kΩ	open	GND	$2V_{CCO}$		
3.0V~3.6V	V_{CCI}	≤1.0ns/V	15pF	2kΩ	open	GND	$2V_{CCO}$		

注:

[1] V_{CCI}是与数据输入端口关联的电源电压。

[2] $dV/dt \ge 1.0V/ns_{\circ}$

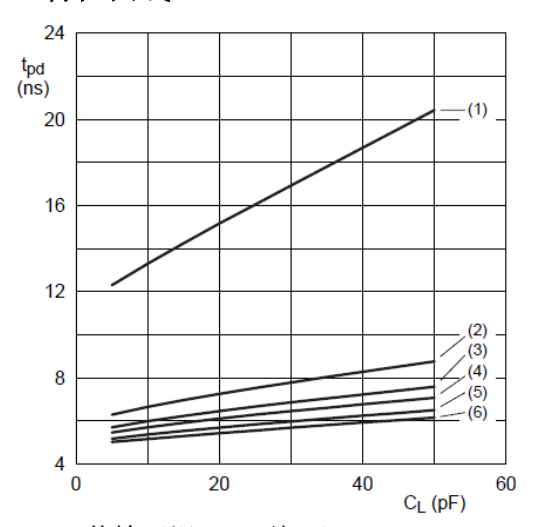
[3] Vcco 是与输出端口关联的电源电压。

Wuxi I-CORE Electronics Co., Ltd.

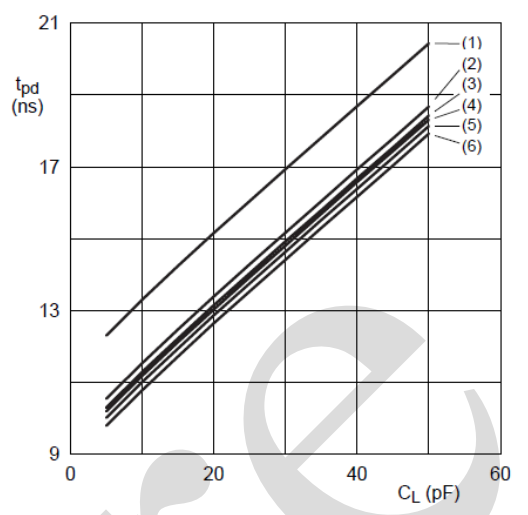
编号: AiP74AVC8T245-AX-LJ-H002

5、特性曲线

表 835-11-B4

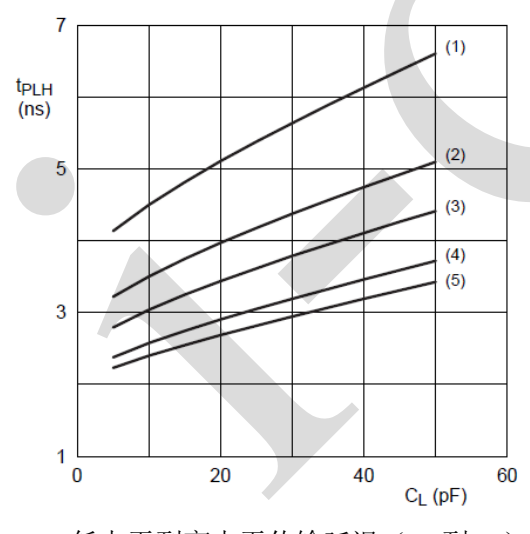


- a. 传输延迟(An到Bn); V_{CC(A)}=0.8V
- (1) $V_{CC(B)}=0.8V$
- (2) $V_{CC(B)}=1.2V$
- (3) $V_{CC(B)}=1.5V$
- (4) $V_{CC(B)}=1.8V$
- (5) $V_{CC(B)}=2.5V$
- (6) $V_{CC(B)}=3.3V$

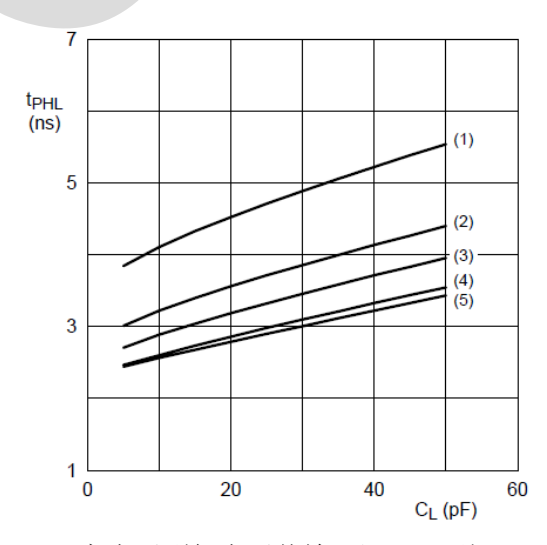


- b. 传输延迟(An到Bn); V_{CC(B)}=0.8V
- (1) $V_{CC(A)}=0.8V$
- (2) $V_{CC(A)}=1.2V$
- (3) $V_{CC(A)} = 1.5V$
- (4) $V_{CC(A)}=1.8V$
- (5) $V_{CC(A)} = 2.5V$
- (6) $V_{CC(A)}=3.3V$

图 6 典型的传输延迟与负载电容的关系; T_{amb}=25℃



a. 低电平到高电平传输延迟(An到Bn); $V_{CC(A)}$ =1.2V



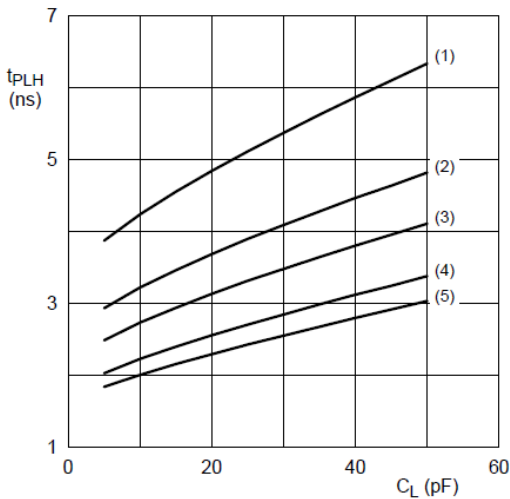
b. 高电平到低电平传输延迟(An到Bn); V_{CC(A)}=1.2V

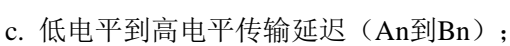


Wuxi I-CORE Electronics Co., Ltd.

编号: AiP74AVC8T245-AX-LJ-H002

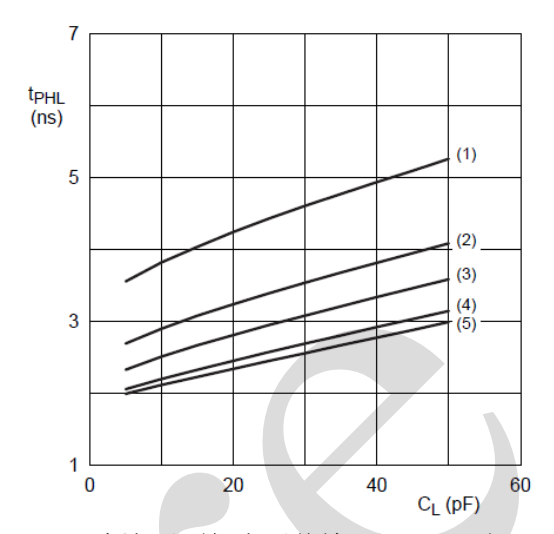




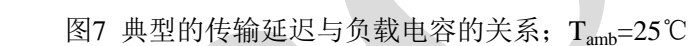


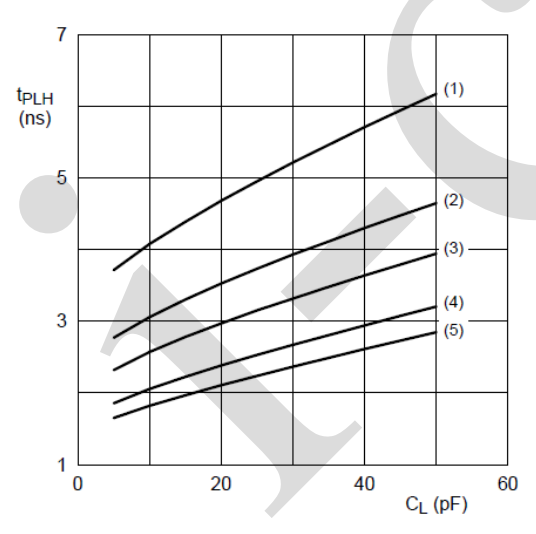


- (1) $V_{CC(B)}=1.2V$
- (2) $V_{CC(B)}=1.5V$
- (3) $V_{CC(B)}=1.8V$
- (4) $V_{CC(B)}=2.5V$
- (5) $V_{CC(B)}=3.3V$

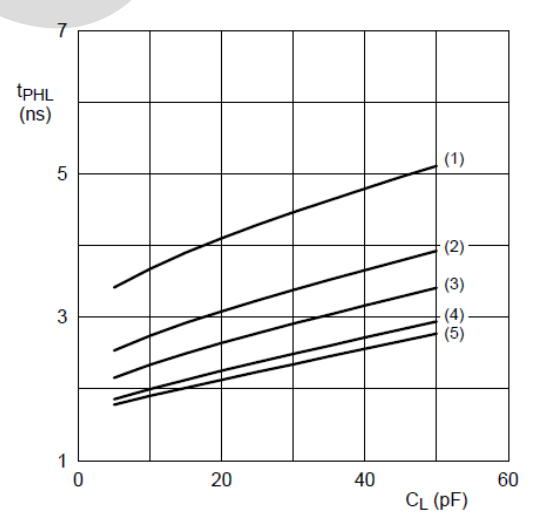


d. 高电平到低电平传输延迟(An到Bn); $V_{\text{CC}(A)}$ =1.5V





a. 低电平到高电平传输延迟(An到Bn); $V_{CC(A)}$ =1.8V



b. 高电平到低电平传输延迟(An到Bn); $V_{CC(A)}$ =1.8V



Wuxi I-CORE Electronics Co., Ltd.

编号: AiP74AVC8T245-AX-LJ-H002

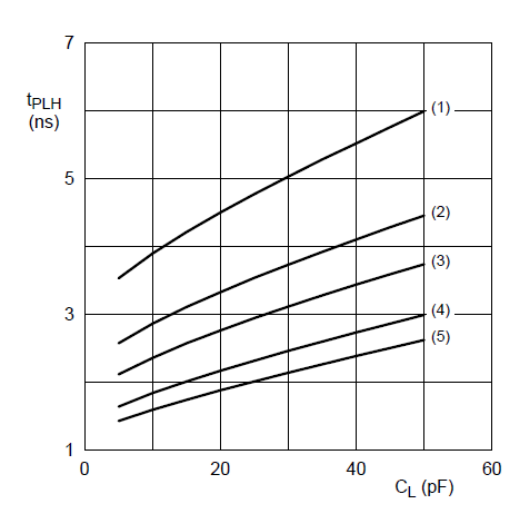
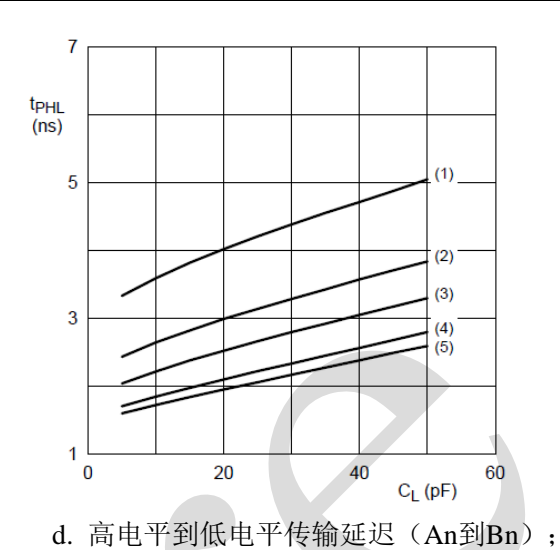


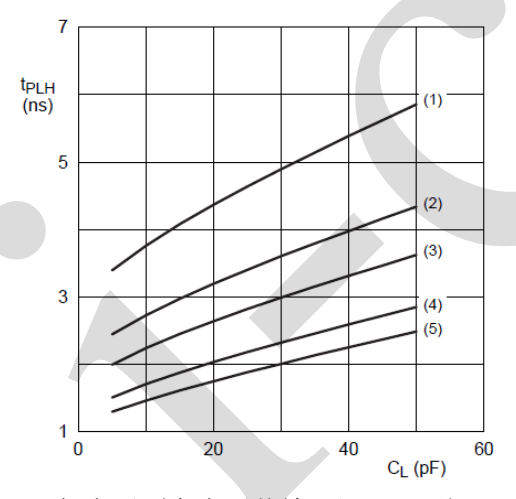
表 835-11-B4

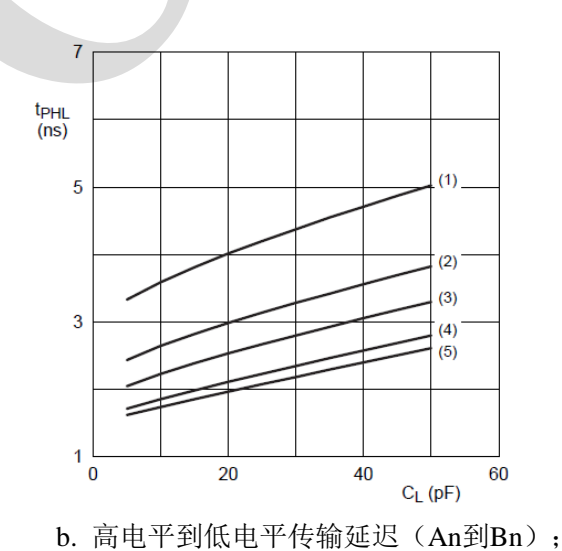


 $V_{CC(A)}=2.5V$

- c. 低电平到高电平传输延迟(An到Bn);
 - $V_{CC(A)}=2.5V$
- (1) $V_{CC(B)}=1.2V$.
- (2) $V_{CC(B)}=1.5V$.
- (3) $V_{CC(B)}=1.8V$.
- (4) $V_{CC(B)}=2.5V$.
- (5) $V_{CC(B)}=3.3V$.

图8 典型的传输延迟与负载电容的关系; T_{amb}=25℃





 $V_{CC(A)}=3.3V$

- a. 低电平到高电平传输延迟(An到Bn);
 - $V_{CC(A)}=3.3V$
- (1) $V_{CC(B)}=1.2V$.
- (2) $V_{CC(B)}=1.5V$.
- (3) $V_{CC(B)}=1.8V$.
- (4) $V_{CC(B)}=2.5V$.
- (5) $V_{CC(B)}=3.3V$.

图9 典型的传输延迟与负载电容的关系; T_{amb}=25℃



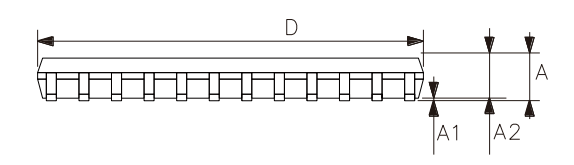
Wuxi I-CORE Electronics Co., Ltd.

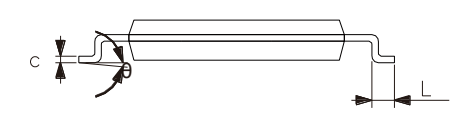
编号: AiP74AVC8T245-AX-LJ-H002

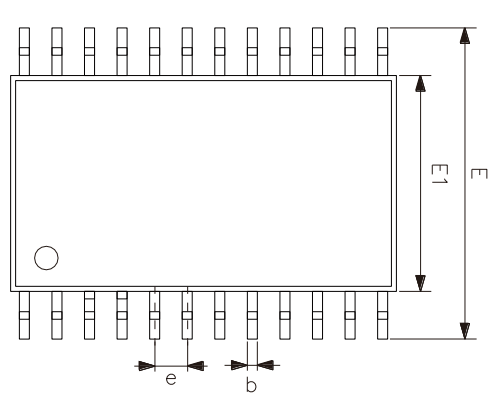
6、封装尺寸与外形图

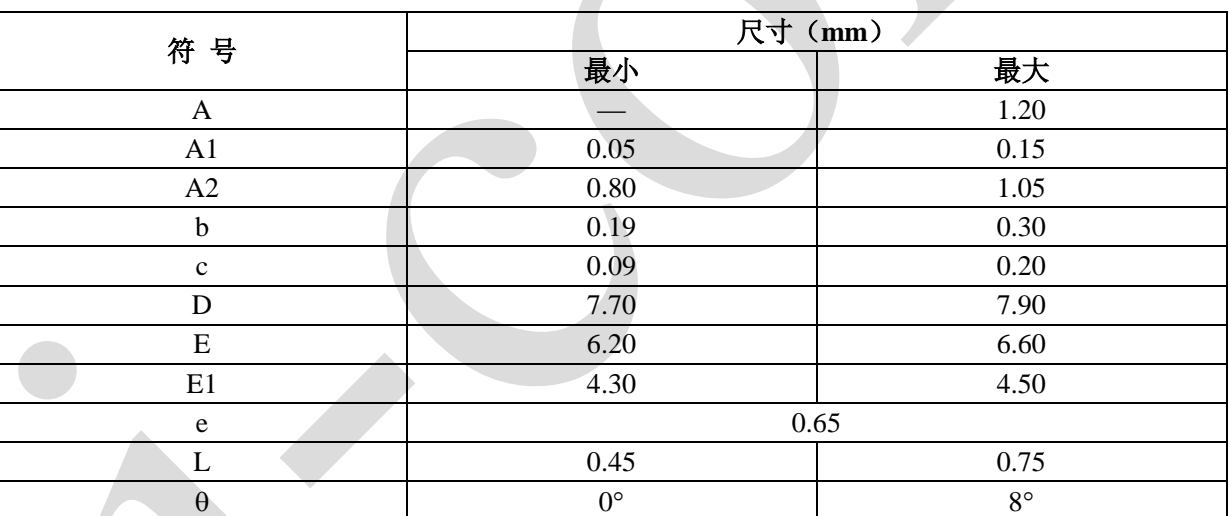
6.1、TSSOP24 外形图与封装尺寸

表 835-11-B4









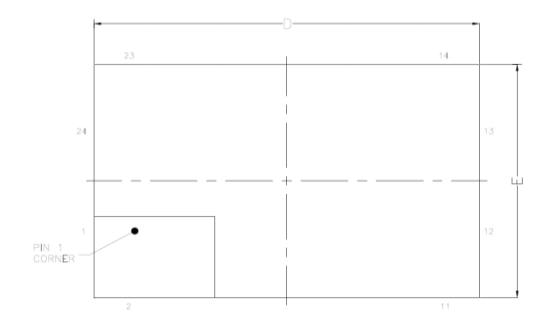


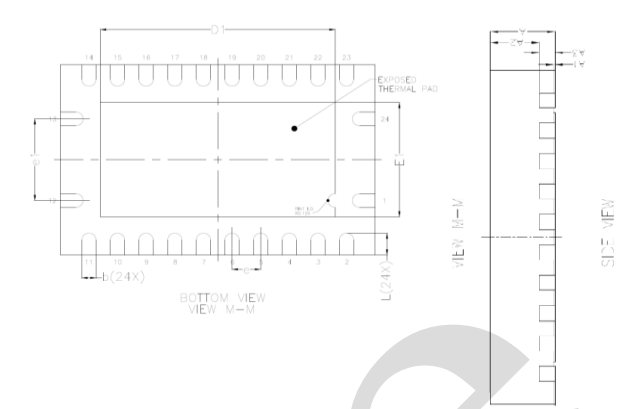
Wuxi I-CORE Electronics Co., Ltd.

编号: AiP74AVC8T245-AX-LJ-H002

6.2、DHVQFN24 外形图与封装尺寸

表 835-11-B4





尺寸((mm)
最小	最大
0.80	1.00
0.00	0.05
0.60	0.70
0.	20
5.40	5.60
3.40	3.60
0.	50
1.	50
0.18	0.30
0.30	0.50
3.95	4.25
1.95	2.25
	最小 0.80 0.00 0.60 0.5.40 3.40 0. 1. 0.18 0.30 3.95





Wuxi I-CORE Electronics Co., Ltd.

编号: AiP74AVC8T245-AX-LJ-H002

7、声明及注意事项

表 835-11-B4

7.1、产品中有毒有害物质或元素的名称及含量

					有毒有	害物质耳	戊元素				
部件 名称	铅 (Pb)	汞 (Hg)	镉 (Cd)	六阶铬 (Cr (VI))	多溴联 苯 (PBBs)	多溴联 苯醚 (PBD Es)	邻苯二 甲酸二 丁酯 (DBP)	邻苯二 甲酸丁 苄酯 (BBP)	邻苯二甲酸二 (2-乙基巴基)酯 (DEHP)	邻苯二甲酸 二异丁酯 (DIBP)	
引线框	0	0	0	0	0	0	0	0	0	0	
塑封 树脂	0	0	0	0	0	0	0	0	0	0	
芯片	0	0	0	0	0	0	0	0	0	0	
内引线	0	0	0	0	0	0	0	0	0	0	
装片胶	0	0	0	0	0	0	0	0	0	0	
说明		:表示该有毒有害物质或元素的含量在 SJ/T11363-2006 标准的检出限以下。 :表示该有毒有害物质或元素的含量超出 SJ/T11363-2006 标准的限量要求。									

7.2、注意

在使用本产品之前建议仔细阅读本资料;

本资料仅供参考,本公司不作任何明示或暗示的保证,包括但不限于适用性、特殊应用或不侵犯 第三方权利等。

本产品不适用于生命救援、生命维持或安全等关键设备,也不适用于因产品故障或失效可能导致 人身伤害、死亡或严重财产或环境损害的应用。客户若针对此类应用应自行承担风险,本公司不负任 何赔偿责任。

客户负责对使用本公司的应用进行所有必要的测试,以避免在应用或客户的第三方客户的应用中出现故障。本公司不承担这方面的任何责任。

本公司保留随时对本资料所发布信息进行更改或改进的权利,本资料中的信息如有变化,恕不另行通知,建议采购前咨询我司销售人员。

请从本公司的正规渠道获取资料,如果由本公司以外的来源提供,则本公司不对其内容负责。